

- [6] Б е л о г о р ц е в А .Б ., В а в р и в Д .М ., Т р е т ъ я -  
к о в О .А . // ЖТФ . 1988 . Т . 58 . № 2 . С . 284-293 .  
[7] W o l f A ., S w i f t J .B ., S w i n n e y H .L .,  
V a s t a n o J .A . // P hysica . 1985 . V . 16D , P .285-  
317 .

Харьковский государственный  
университет им. А.М. Горького

Поступило в Редакцию  
9 февраля 1989 г.

Письма в ЖТФ, том 15, вып. 9

12 мая 1989 г.

06.3; 07

ДИФРАКЦИЯ СВЕТА НА ПОЛОСОВОЙ  
ДОМЕННОЙ СТРУКТУРЕ  
С ВОЛНИСТЫМИ ГРАНИЦАМИ

Р .М . Г р е ч и ш к и н , Ю .Н . З у б к о в ,  
Д .И . С е м е н ц о в

Интерес к доменным структурам с двумерной регулярностью (например, решеткам цилиндрических магнитных доменов), реализуемым в эпитаксиальных пленках феррит-гранатов с преобладающей одноосной анизотропией, и дифракции света на этих структурах [1-4] обусловлен широкими возможностями их практического использования в опто- и микрэлектронике.

В настоящей работе сообщается о новых дифракционных эффектах, полученных на пленках  $Bi$ -замещенных гранатов со специфической полосовой доменной структурой (ПДС). Ее особенностью является двумерная регулярность, проявляющаяся как в периодичности доменов, так и отдельной доменной границы (ДГ).

В эксперименте исследовались эпитаксиальные пленки композиции  $(BiLu)_3Fe_5O_{12}$ , выращенные на подложках гадолиний-галиевого граната с ориентацией (111). Образец имел следующие параметры: толщина  $L = 13.5$  мкм, равновесный период ПДС  $D = 5.5$  мкм, удельное фарадеевское вращение  $\theta_F = 1.2$  град/мкм,  $4\pi M_S = 1850$  Гс, поле одноосной анизотропии  $H_K = 1110$  э.

На рис. 1, а представлено изображение исходной лабиринтной ДС, полученное в проходящем свете в отсутствие магнитного поля при установке анализатора и поляризатора на контраст ДГ. Для данной ДС характерна извилистость ДГ, отчетливо проявляющаяся на линейных участках. При включении плоскостного поля  $H$ , превышающего поле насыщения  $H_S \approx 400$  э, и при последующем его понижении в пленке реализуется четко выраженная ПДС с волнистыми доменными границами (рис. 1, б). Указанная структура, снятая при установке анализатора и поляризатора на максимальный контраст доменов, представлена на рис. 1, в. Та же ДС, но снятая

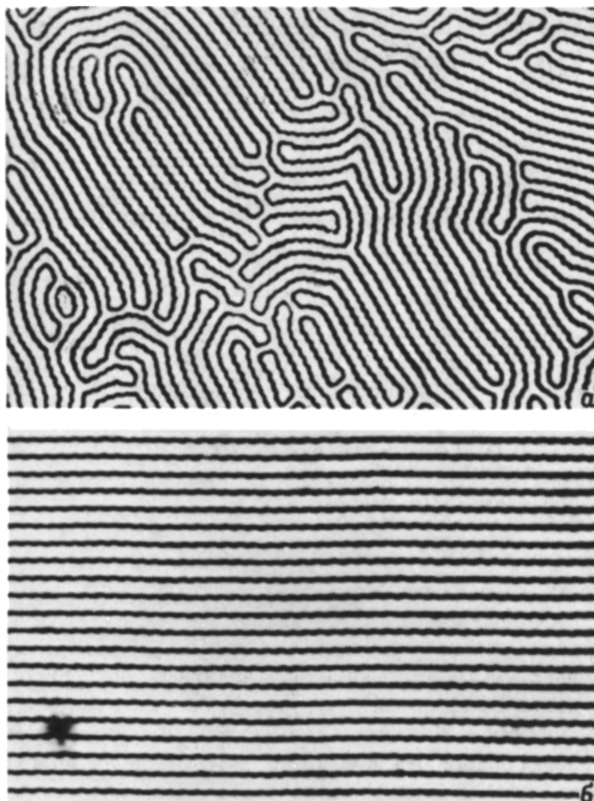


Рис. 1.

при фокусировке объектива на плоскость, лежащую на глубине 1.5-2 мкм от поверхности пленки, представлена на рис. 1, г. Видно, что извилистость в объеме пленки отсутствует, однако периодичность ДГ сохраняется за счет изменения ее полярности с периодом волнистости на поверхности пленки.

Близкая по характеру ПДС с волнистой ДГ ранее наблюдалась в пленках ЖИГ [5]. Однако в этой работе не исследуется характер структуры в глубине пленки, а считается, что она соответствует модели Гудинафа [6], согласно которой при толщинах пленки  $L > L_{kp}$  возникает поверхностное периодическое искажение ДГ, амплитуда которого убывает при удалении от поверхности до нуля. При этом в объеме доменная стенка является плоской с одной и той же полярностью. В нашем случае мы наблюдаем периодическое изменение полярности ДГ и ряд других особенностей, которые указывают на более сложный характер исследуемой ПДС, связанный, на наш взгляд, с проявлениями кубической анизотропии.

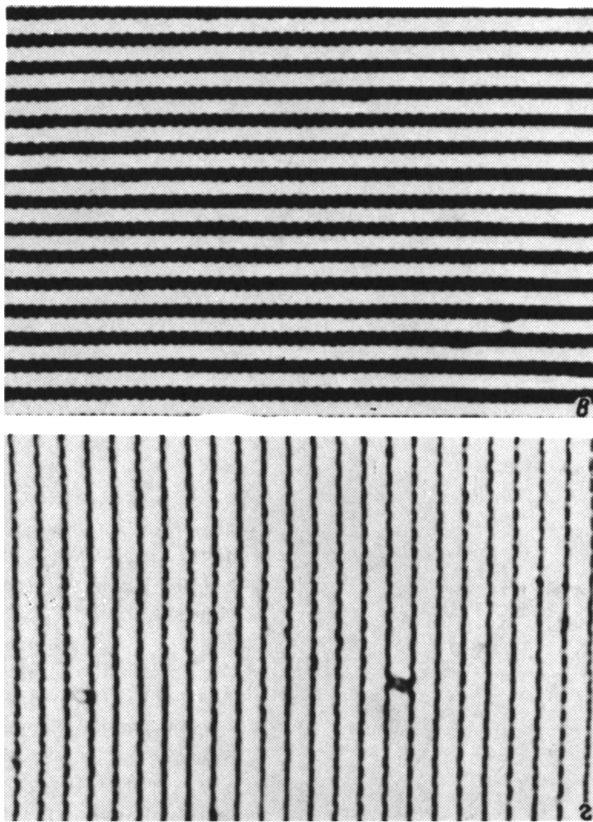


Рис. 1 (продолжение).

На рис. 2 представлена дифракционная картина, наблюдаемая при нормальном падении на образец лазерного излучения ( $\lambda = 0.63 \text{ мкм}$ ) при  $H = 0$ . Как и для решеток ЦМД [4], в рассматриваемом случае положение дифракционных максимумов различных порядков определяется двумя угловыми переменными:  $\theta$  (вдоль оси периодичности ДС) и  $\varphi$  (вдоль доменов и ДГ). Кроме основных максимумов, характерных для ПДС с плоскими ДГ с угловым положением

$$\theta_{no} = \arcsin(n\lambda/D), \quad \varphi_{no} = 0, \quad (1)$$

впервые наблюдались дополнительные максимумы с угловым положением

$$\theta_{nm} = \theta_{no}, \quad \varphi_{nm} = \arcsin(m\lambda/d). \quad (2)$$

при этом порядке с  $n = 0$  и  $m \neq 0$  отсутствовали. На снимке приведены основные максимумы ( $n = 0, \pm 1, \pm 3$  и  $m = 0$ ) и мак-

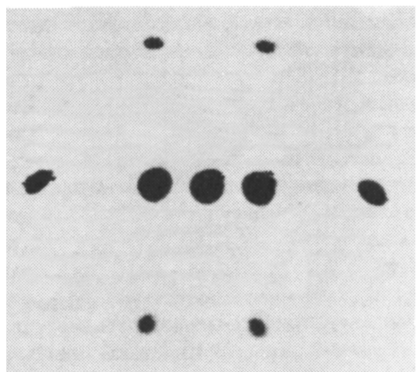


Рис. 2.

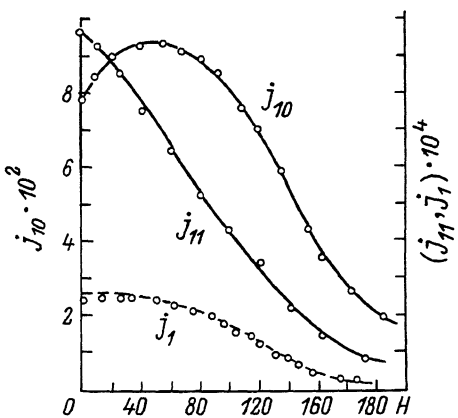


Рис. 3.

симумы, связанные с периодичностью ДГ ( $\kappa = \pm 1$  и  $m = \pm 1$ ). Их относительная интенсивность ( $j_{nm} = J_{nm}/J_{nag}$ ) при  $H = 0$  равна:  $j_{\infty} = 0.106$ ,  $j_{10} = 7.8 \cdot 10^{-2}$ ,  $j_{30} = 3.9 \cdot 10^{-3}$ ,  $j_{11} = 9.7 \cdot 10^{-4}$ . В спектре регистрировались также максимумы с  $\kappa = +3$  и  $m = \pm 1$  с  $j_{31} = 1.2 \cdot 10^{-4}$ .

Равновесный период волнистости ДГ, определенный на основе (2),  $d = 1.84$  мкм. В плоскостном поле, ориентированном вдоль границ доменов, происходит "симметрическая" перестройка ПДС с изменением периодов  $D$  и  $d$

при сохранении равенства ширин соседних доменов с антипараллельной ориентацией ( $S_1 = S_2$ ). При этом увеличение  $H$  ведет к уменьшению  $D$  и увеличению  $d$ , что приводит к увеличению угла дифракции  $\theta_{nm}$  и уменьшению угла  $\varphi_{nm}$ . При этом отмечается слабая зависимость относительной амплитуды зигзага  $b/D$  от поля вплоть до поля насыщения.

На рис. 3 приведены экспериментальные зависимости величин  $j_{11}$  и  $j_{10}$  от  $H$  для исследуемого образца. Здесь же для сравнения представлены экспериментальные значения  $j_1(H)$  для пленки с плоскими ДГ и параметрами  $4\pi M_S = 340$  Гс,  $H_K = 1290$  э,  $H_S = 240$  э,  $\theta_f = 1.24$  град/мкм,  $L = 2$  мкм. В дифракционной картине этой пленки присутствуют только основные порядки, пространственное положение которых определяется углом  $\theta_n$ .

Для ПДС с плоскими ДГ интенсивность дифракционных максимумов при нормальном падении света на образец определяется соотношением (для  $n \neq 0$ ) [7]:

$$j_n = \frac{4}{\pi^2 n^2} e^{-\alpha L} \sin^2 \rho \theta_F L \begin{cases} \sin^2 \frac{\pi n A}{D}, & n = 2m, \\ \cos^2 \left(n - \frac{1}{2}\right) \frac{\pi A}{D}, & n = 2m-1, \end{cases} \quad (3)$$

где  $\alpha$  – коэффициент поглощения,  $A = \delta_1 - \delta_2$ ,  $\rho = \cos \varphi$ ,  $\varphi$  – угол отклонения магнитного момента от нормали. Из (3) следует, что дифракционная эффективность доменной решетки  $\gamma \equiv j_1$ , как при симметричной, так и несимметричной ее перестройке должна уменьшаться. В частности, уменьшение  $\gamma$  при симметричной перестройке обусловлено уменьшением фарадеевской компоненты намагниченности  $M_z = \rho(H)M_0$ , определяющей угол поворота плоскости поляризации во внешнем поле  $\theta_{FL}(H) = \rho(H)\theta_{FL}(0)$ . Указанный характер зависимости всегда наблюдается в пленках с достаточно большим фактором качества, ПДС которых является открытой. Теоретическая кривая (пунктир), построенная на основе (3), соответствует экспериментальной зависимости  $\gamma(H)$ .

Особенностью полевой зависимости дифракционной эффективности пленки с извилистой ДГ  $\gamma \equiv j_{10}$  является наличие максимума на начальном этапе перестройки ПДС ( $H_m \approx 0.15 H_s$ ). Объяснение этого эффекта состоит в том, что в процессе перестройки на дифракционную эффективность влияют два конкурирующих фактора: уменьшение  $M_z$  за счет отклонения магнитного момента в направлении поля приводит к уменьшению  $\gamma$ , а уменьшение амплитуды волнистости приводит к эффективному увеличению  $M_z$  в доменах. Последнее связано с тем, что вблизи поверхности намагниченность отклоняется от нормали, формируя волнистость ДГ [6]. На начальной стадии перестройки отклонение магнитного момента в направлении поля затруднено за счет хорошо развитой волнистости, и увеличение  $\gamma$  обеспечивается за счет уменьшения с ростом поля амплитуды волнистости. При этом интенсивность неосновных максимумов (например,  $j_{11}$ ) монотонно падает.

Измерения характеристик магнитооптической дифракции измерялись по методике, описанной в [8].

#### Список литературы

- [1] Балашов А.М., Червоненко А.Я. Магнитные материалы для микроэлектроники. М.: Энергия, 1979. 216 с.
- [2] Parworth K.R. // Phys. Stat. Sol. (a). 1974. V. 22. P. 373–380.
- [3] Антонов А.В., Игнатьев И.А., Болтарь К.О.// ФТТ. 1975. Т. 17. С. 1071–1074.
- [4] Семенцов Д.И., Морозов А.М. // Микроэлектроника. 1979. Т. 8. С. 99–113.

- [5] Jones G.A., Lacey T.M., Rushchalska I.B. // Journ. Appl. Phys. 1982. V. 53(11). P. 7870-7872.
- [6] Гудинаф Дж. В сб.: Магнитная структура ферромагнетиков. М.: ИЛ, 1959, с. 58.
- [7] Семенцов Д.И. // Кристаллография. 1981. Т. 26. С. 753-757.
- [8] Зубков Ю.Н. // ЖТФ. 1983. Т. 53. С. 2278-2280.

Калининский государственный  
университет

Поступило в Редакцию  
8 февраля 1989 г.

Письма в ЖТФ, том 15, вып. 9

12 мая 1989 г.

06.3

### ОСОБЕННОСТИ ЖИДКОФАЗНОГО РОСТА $Al_xGa_{1-x}As$ ( $x = 0.2-0.3$ ) ПРИ НИЗКОЙ ТЕМПЕРАТУРЕ

А.З. Мереуцэ, А.И. Петров,  
В.М. Полторацкий, В.А. Прокудина,  
А.В. Сырбу, В.П. Тарченко,  
В.П. Яковлев

Низкотемпературная жидкофазовая эпитаксия (НЖЭ) в системе  $AlGaAs/GaAs$  (температурный диапазон роста 650-400 °C) позволяет получать многослойные структуры с толщиной слоя порядка единиц нм [1]. Этим методом были изготовлены лазерные диоды с одиночной квантовой ямой с пороговым током генерации 3.5 мА [2]. Одним из дальнейших путей развития НЖЭ в этой системе является разработка методов выращивания структур с многоквантовыми ямами. В связи с этим необходимы данные по низкотемпературному росту  $Al_xGa_{1-x}As$  ( $x = 0.2-0.3$ ), подробные тем, которые были получены для случая  $0 = x$  в работе [3]. Также важным для дальнейшего развития НЖЭ является изучение зависимости параметров слоев  $Al_xGa_{1-x}As$  от переохлаждения раствора-расплава.

В данной работе выращивание  $Al_xGa_{1-x}As$  ( $x = 0.2-0.3$ ) проводилось в графитовых кассетах как слайдового, так и прокачного типа в потоке очищенного водорода с точкой росы -65--80 °C. Толщина слоев определялась в растровом электронном микроскопе на косых шлифах. Проводились измерения длины волны краевой фотолюминесценции выращенных слоев при  $T = 300$  К.

Экспериментальные зависимости толщины слоя  $d$  и длины волны краевой фотолюминесценции  $\lambda$  от переохлаждения раствора-расплава  $\Delta T$  (см. рис. 1) были определены при соблюдении постоянства температуры начала выращивания и времени роста (со-